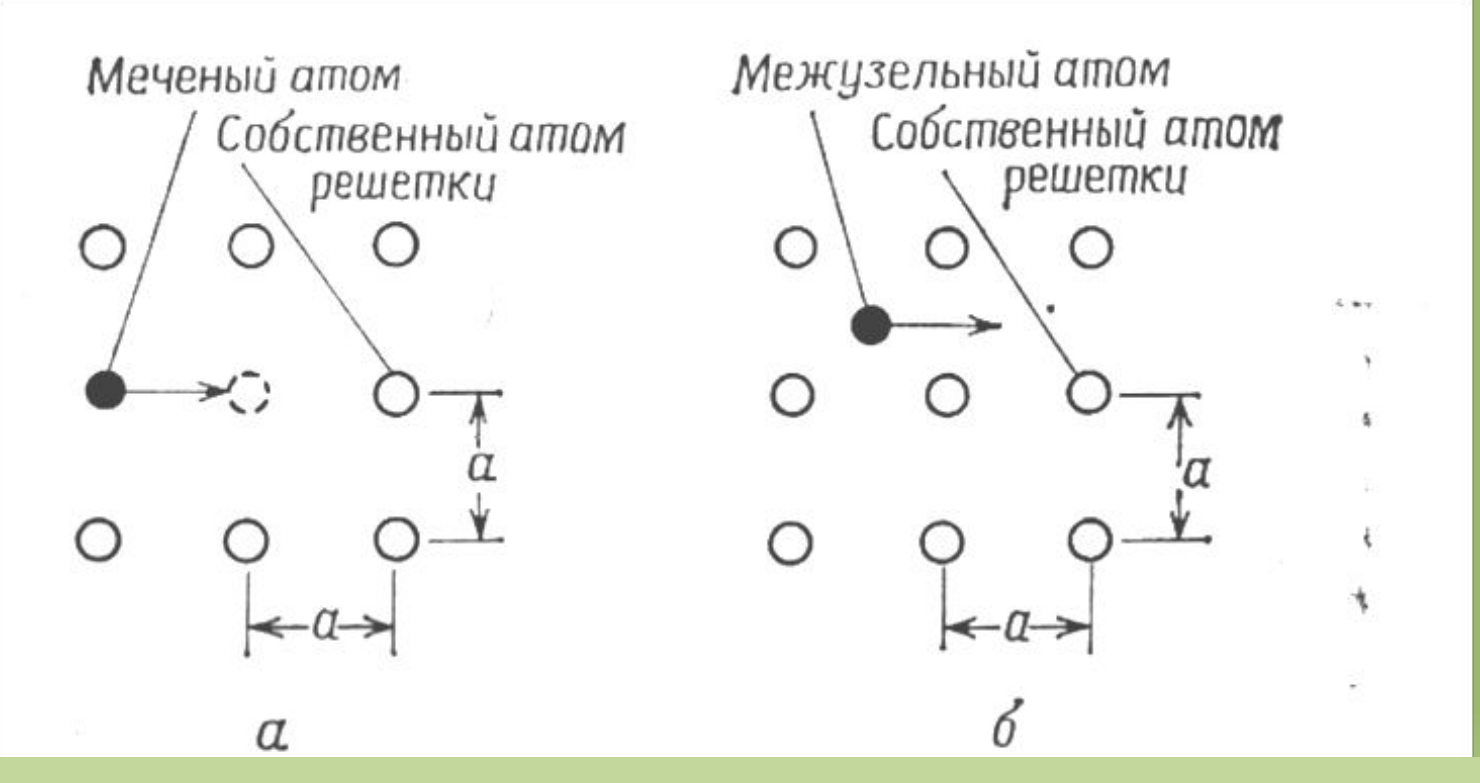
Диффузия



В твердом теле диффузия – процесс активируемого температурой перескока атома из одной потенциальной ямы в другую.

В

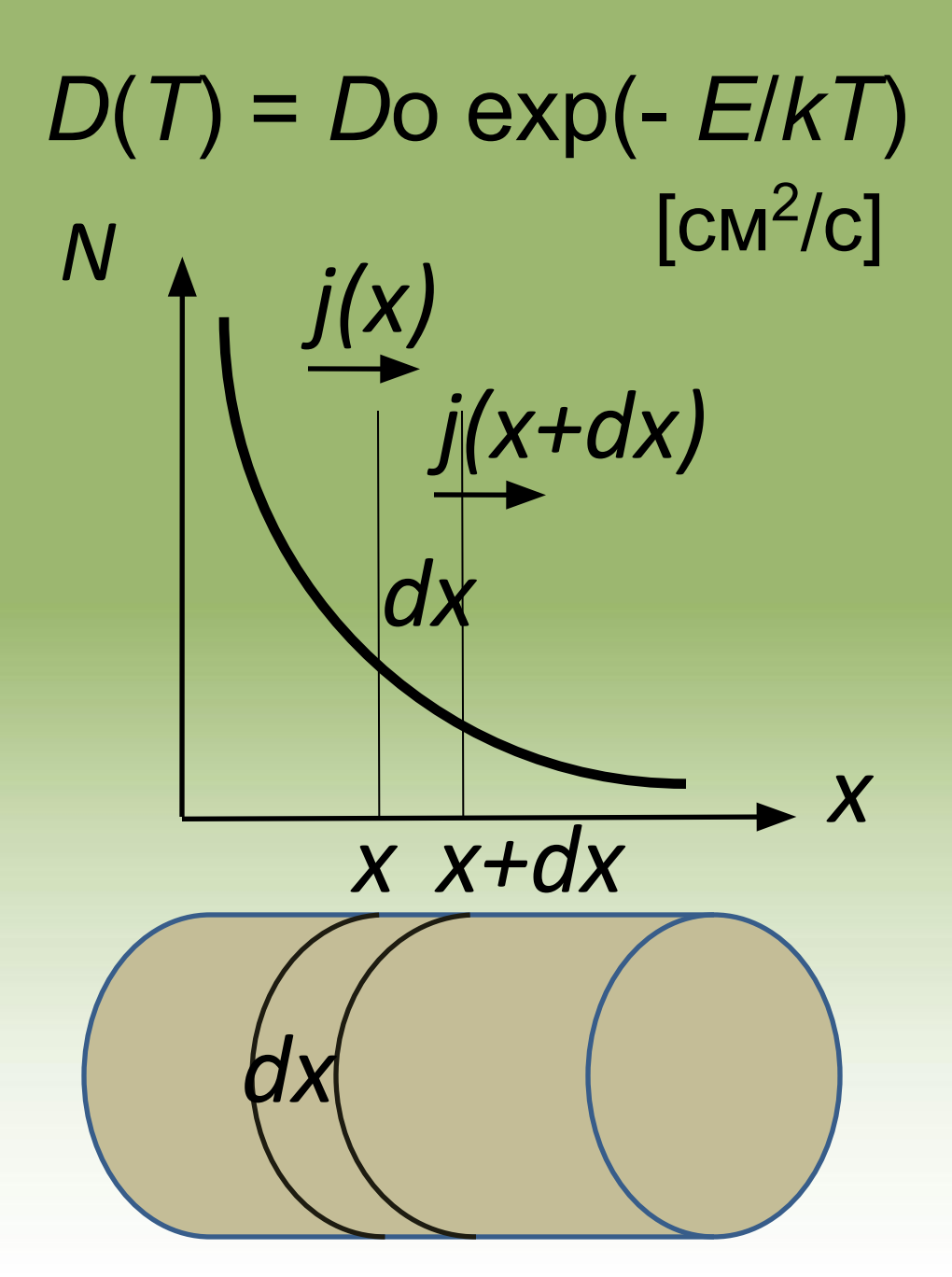
2

Законы Фика

•
$$j = -D$$
 grad N ,

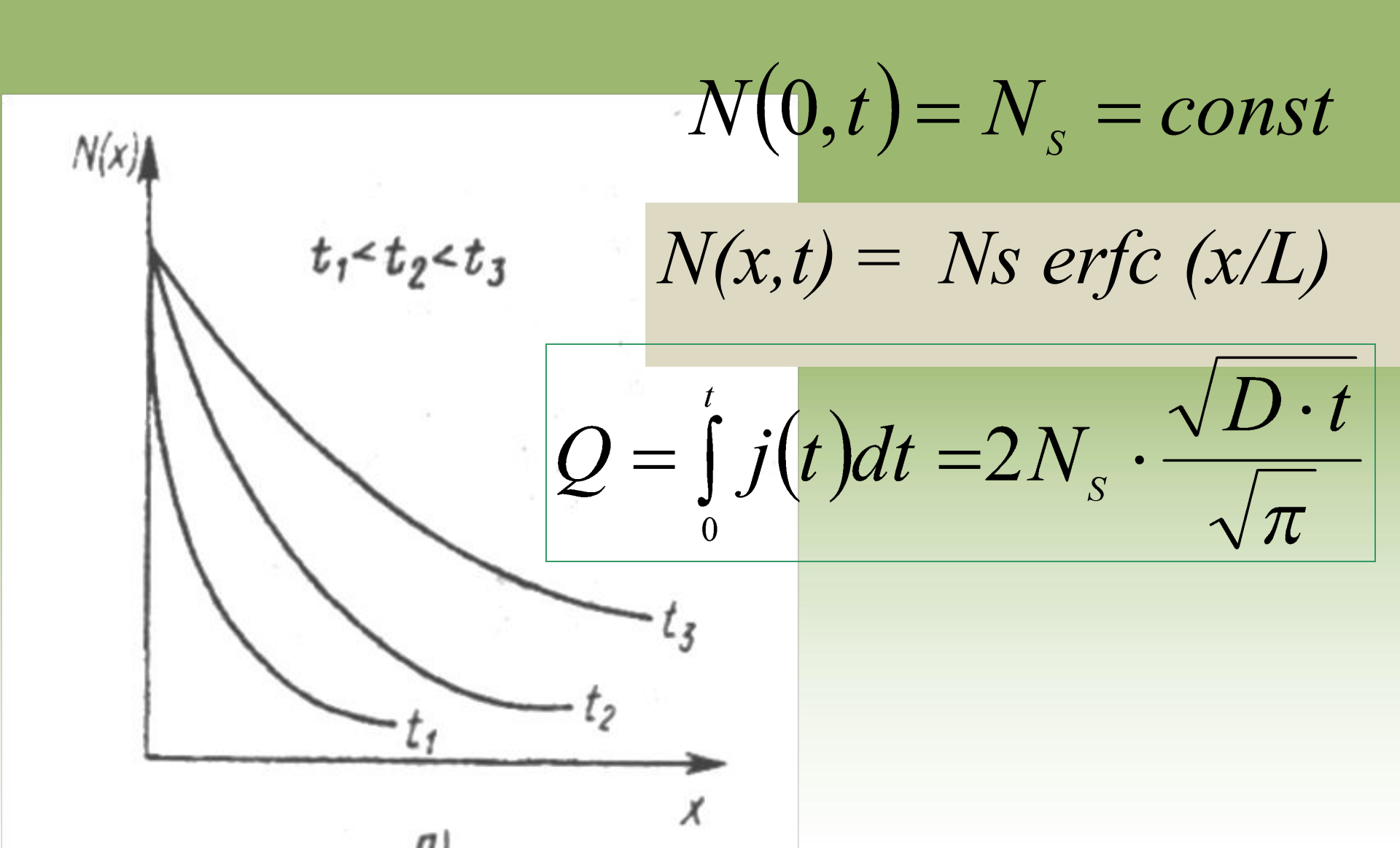
$$\frac{dj}{dx} = -\frac{d}{dx} \left[D \frac{dN}{dx} \right]$$

$$\frac{\bar{d}j}{dx} - \frac{dN}{dt}$$

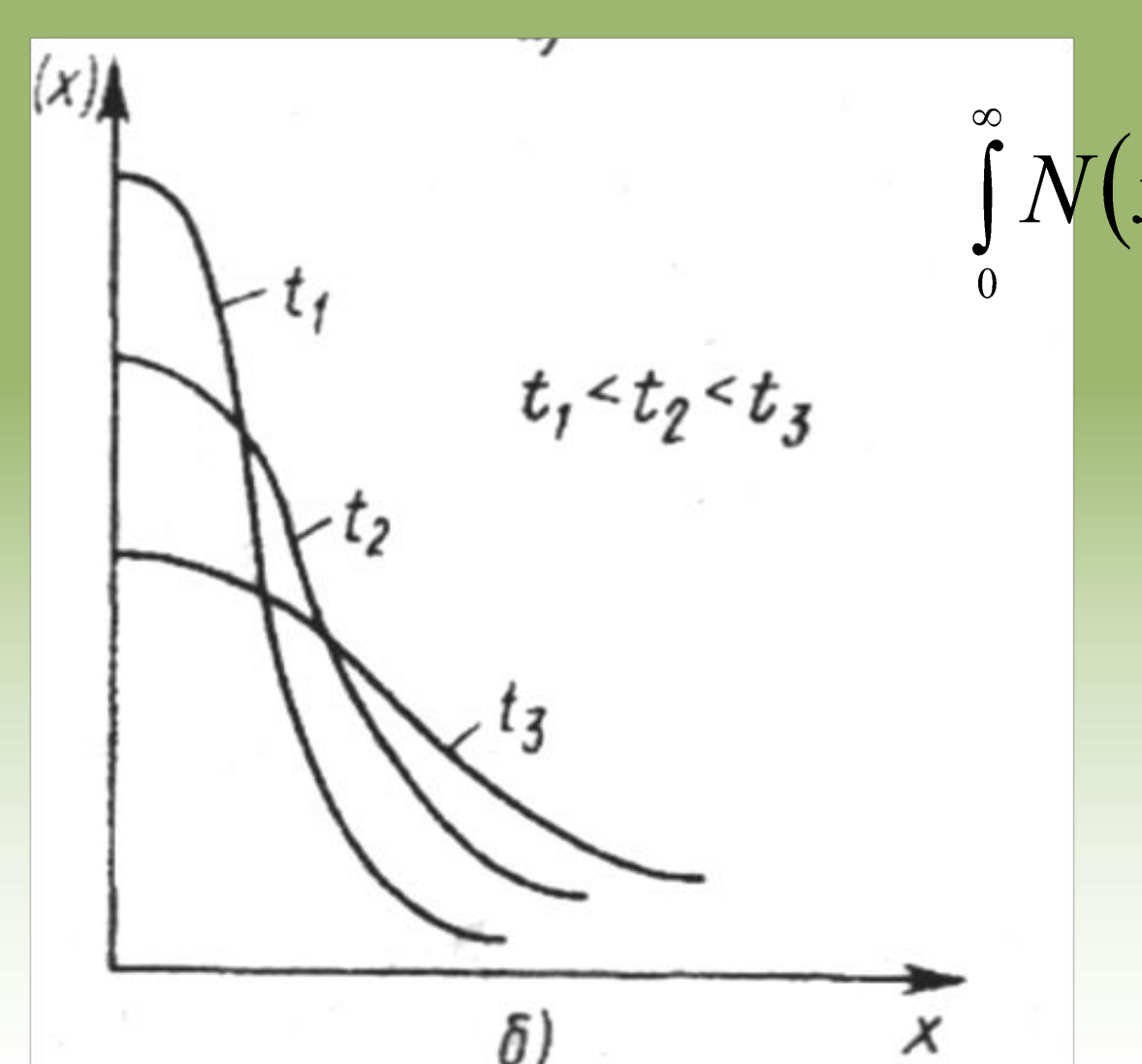




Диффузия из <u>неограниченного</u> источника примеси

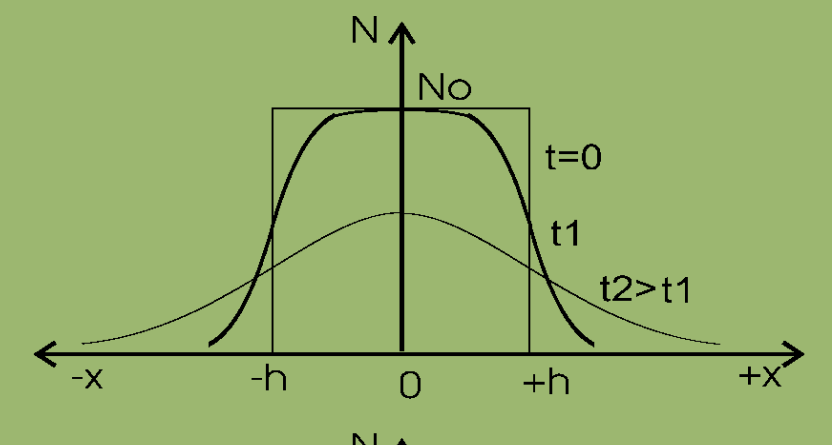


Диффузия из <u>ограниченного</u> источника примеси



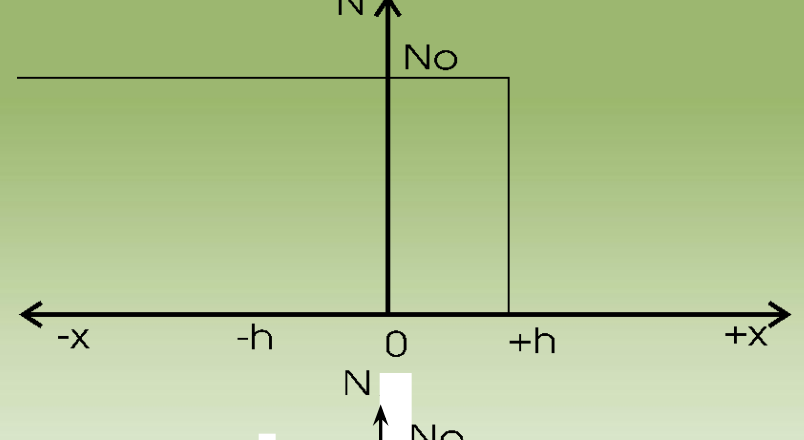
$$\int_{0}^{\infty} N(x)dx = Q = const$$

Диффузия из слоя конечной толщины



суперпозиция двух профилей N_1 – N_2

$$N(x,t) = \frac{N_0}{2} \cdot \left\{ erfc\left(\frac{x-h}{L}\right) - erfc\left(\frac{x+h}{L}\right) \right\}$$



0

+h

-h

$$N_1(x,t) = \frac{N_0}{2} \cdot erfc\left(\frac{x-h}{L}\right)$$

$$N_{2}(x,t) = \frac{N_{0}}{2} \cdot erfc\left(\frac{x+h}{L}\right)$$

Диффузия из бесконечно тонкого слоя (точечный источник)

$$N(x,t) = \frac{N_0}{2} \cdot \frac{2}{\sqrt{\pi}} \left\{ \int_{(x-h)/L}^{\infty} \exp(-u^2) du - \int_{(x+h)/L}^{\infty} \exp(-u^2) du \right\} = \frac{N_0}{\sqrt{\pi}} \cdot \int_{(x-h)/L}^{(x+h)/L} \exp(-u^2) du$$
При $h \to 0$ интеграл стремится к $\frac{2 \cdot h}{L} \cdot \exp(-x^2/L^2)$

$$N(x,t) = \frac{N_0}{\sqrt{\pi}} \cdot \frac{2h}{L} \cdot \exp(-x^2/L^2) = \frac{Q}{2 \cdot \sqrt{\pi \cdot D \cdot t}} \cdot \exp(-x^2/(4D \cdot t))$$

 $L^2 = 4 \cdot D \cdot t$

 $2h \cdot N_0 = Q = const$

Понятие тонкого и толстого слоя

$$h > 4L$$
 — слой толстый $h < L/4$ — слой тонкий

Отражающая и связывающая границы

Граница, поток примеси через которую равен 0 – **отражающая**.

Граница, концентрация примеси на которой равна 0 – **связывающая (поглощающая)**.

$$N(x,t) = N_0 \cdot \left[1 - erfc\left(\frac{x}{L}\right) \right] = N_0 \cdot erf\left(\frac{x}{L}\right)$$

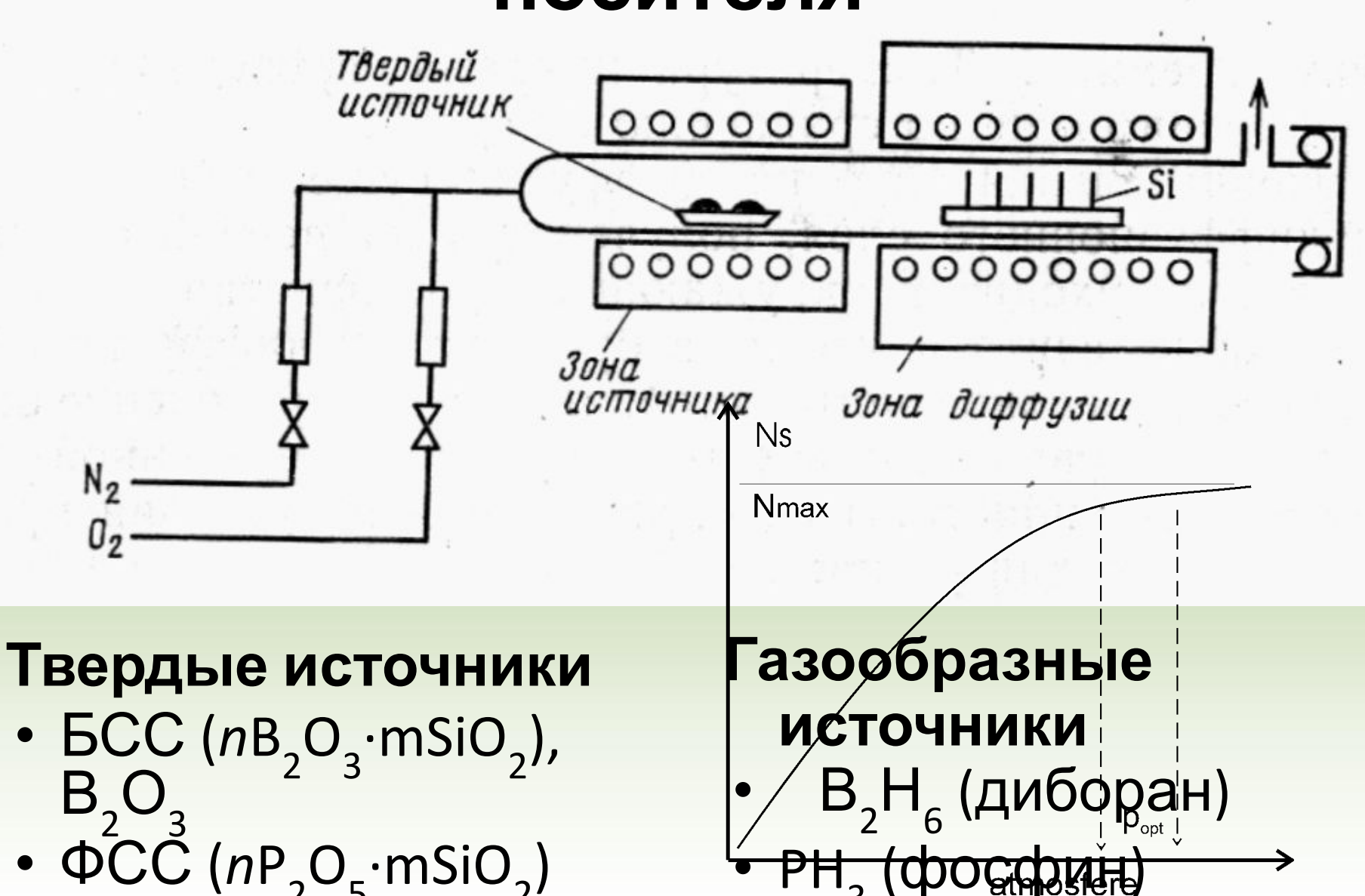
Факторы, влияющие на величину коэффициента диффузии

- Температура процесса.
 - D(T) = Do exp(-E/kT)
- Механические напряжения и сопутствующая им повышенная концентрация дислокаций. Вдоль дислокаций диффузия примеси идет во много раз быстрее, чем в бездефектном материале.
- Концентрация диффундирующей примеси.
- Концентрация фоновой примеси.
- Атмосфера, в которой ведется диффузия примеси.
- Ориентация кристалла.

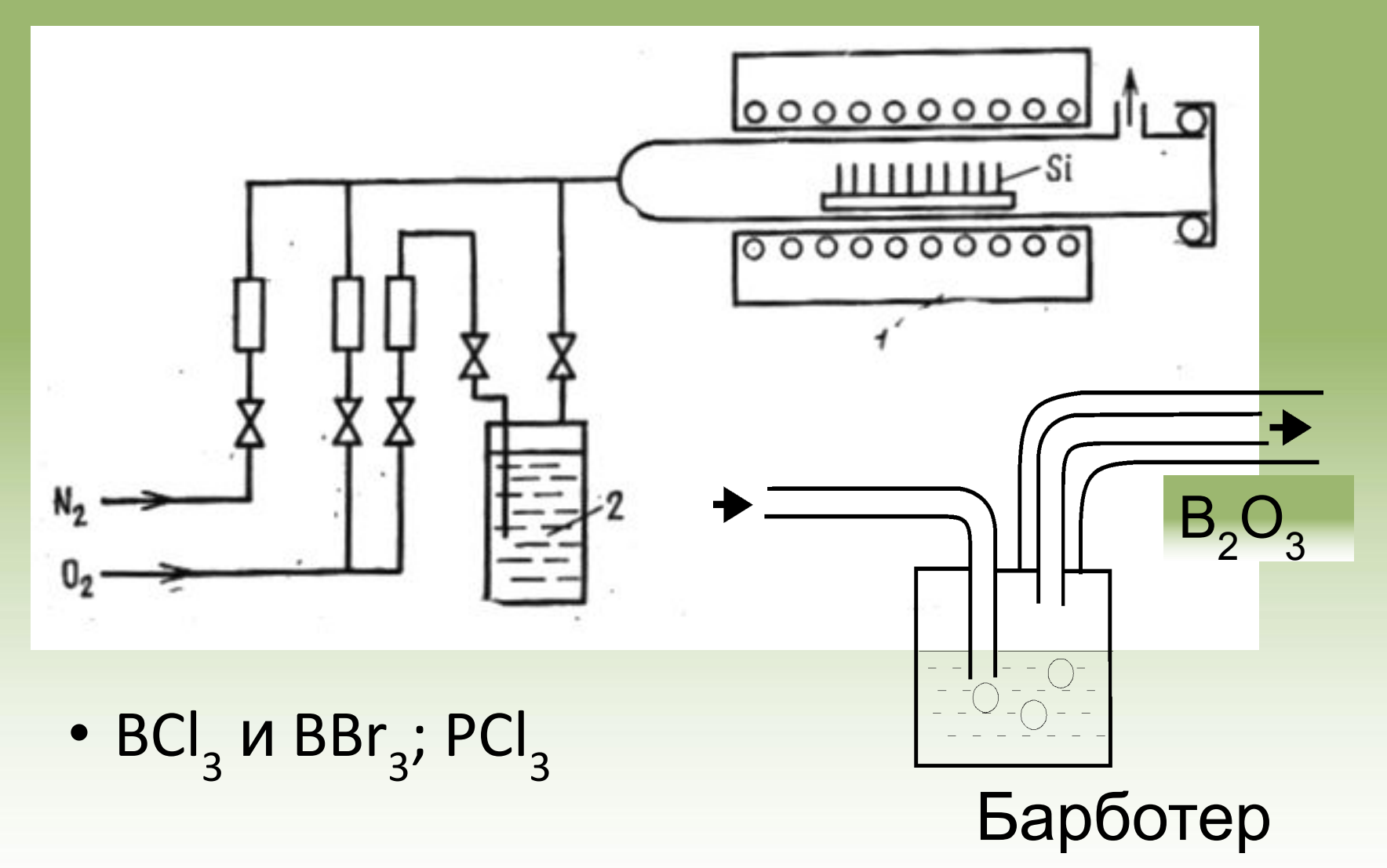
наносимых на поверхность

- Пленки метальов, например, Абили АI, нанесенные методом термического испарения. Толщина пленок определяется требуемым количеством примеси, которое должно быть введено в полупроводник.
- Слои легированного оксида кремния или легированного поликремния.
- Пленки фоторезистов- диффузантов. В этих пленках обычными методами фотолитографии можно сформировать рисунок областей, подлежащих

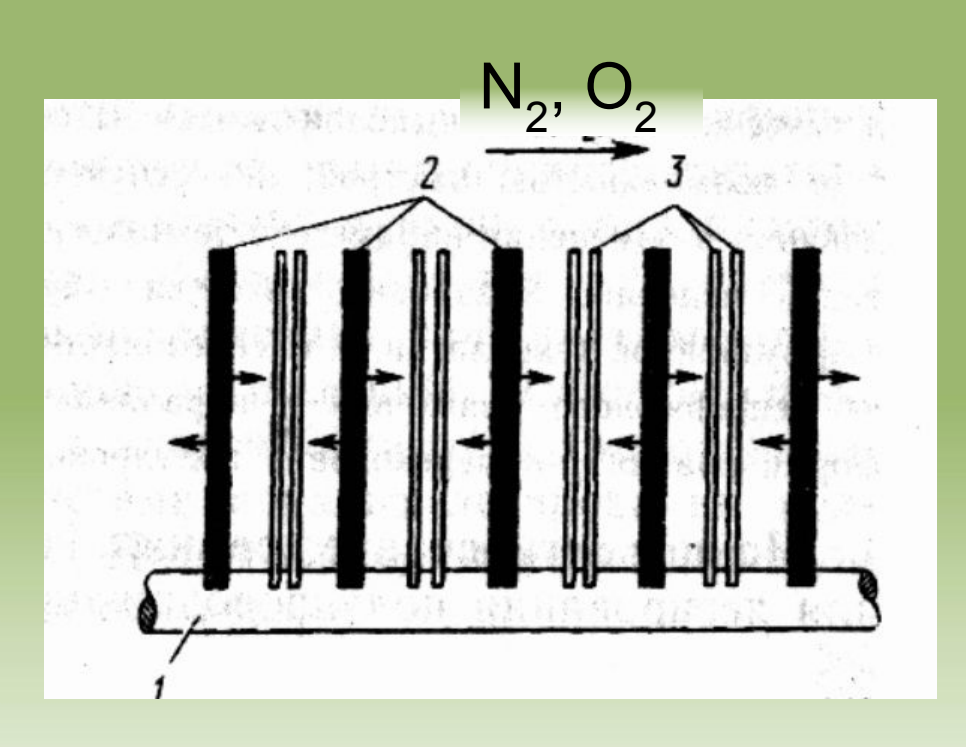
Диффузия в потоке газаносителя



Диффузия в потоке газаносителя из жидкого источника



Метод параллельного источника



BN (*нитрид* бора) В₂О₃

Установка твердых планарных источников и пластин кремния – в кварцевой кассете:

- 1 кварцевая кассета;
 - 2 твердые планарные источники;
- 3 пластины

Двух- и трехмерные точечные источники

$$N(r,t) = \frac{Q}{(4\pi Dt)^m} \cdot \exp\left(-\frac{r^2}{4Dt}\right) = \frac{Q}{(4\pi Dt)^m} \cdot \exp\left(-\frac{r^2}{L^2}\right)$$

r - расстояние от источника диффузанта

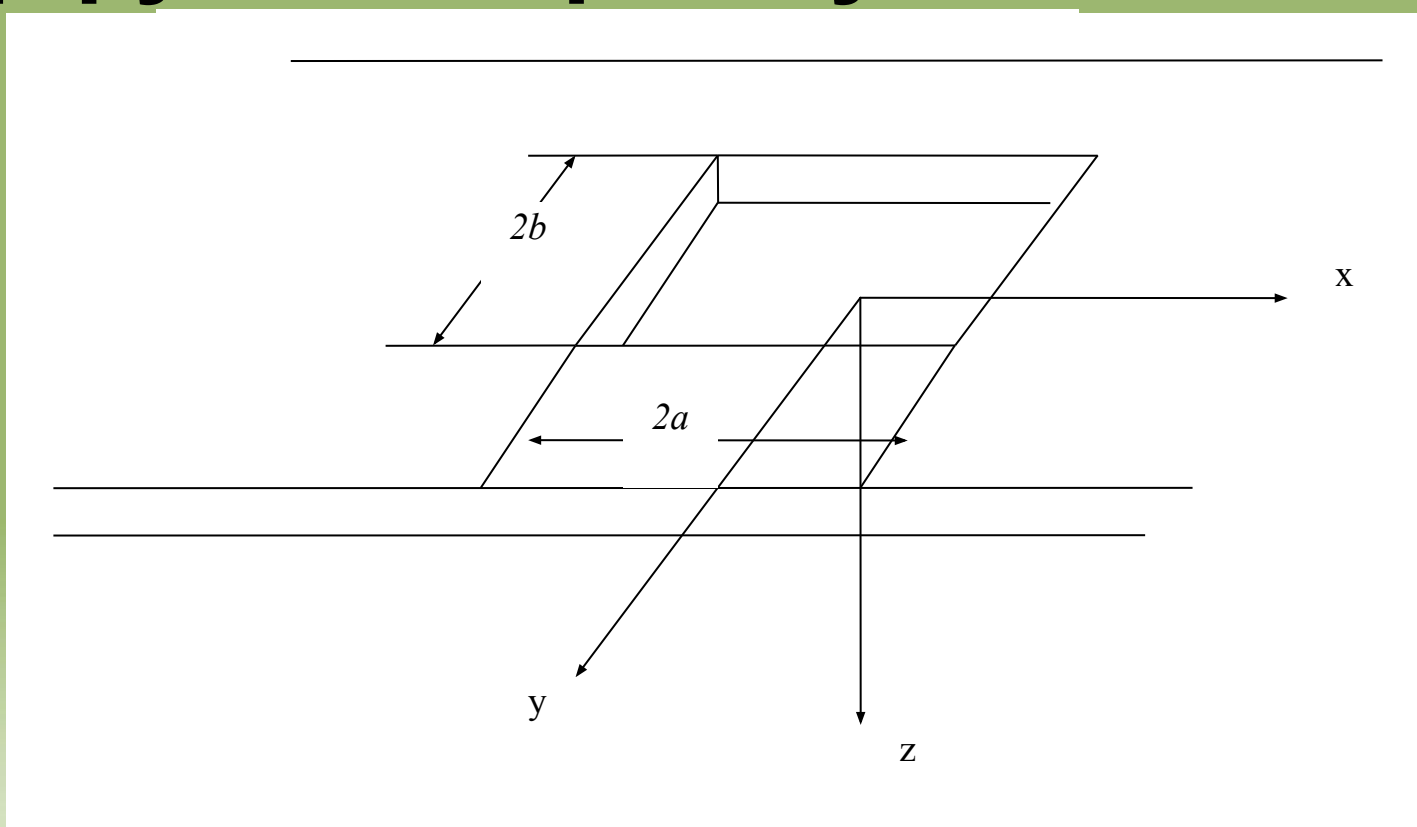
m= 1/2, 1 и 3/2, соответственно, для одно-, двух- и трехмерного источников

Формула Пуассона

$$N(x,y,z,t) = \iiint_{\infty} \frac{F(\chi,\eta,\zeta)}{(4\pi Dt)^{3/2}} \exp\left[-\frac{(x-\chi)^2 + (y-\eta)^2 + (z-\zeta)^2}{4 \cdot D \cdot t}\right] d\chi d\eta d\zeta$$
$$N(x,t) = \int_{\infty} \frac{F(\chi)}{2\sqrt{\pi Dt}} \exp\left[-\frac{(x-\chi)^2 + (y-\eta)^2 + (z-\zeta)^2}{4 \cdot D \cdot t}\right] d\chi$$

$$F(X(x,y,\xi,t))=F((x,t)\cdot F((y,t)\cdot F((x,t))\cdot F((x,t))\cdot F((x,t))$$

Диффузия в прямоугольное окно



$$N(x, y, z, t) = \frac{N_S}{4} \cdot \left[erfc \left(\frac{x - a}{L} \right) - erfc \left(\frac{x + a}{L} \right) \right] \cdot \left[erfc \left(\frac{y - b}{L} \right) - erfc \left(\frac{y + b}{L} \right) \right] \cdot erfc \left(\frac{z}{L} \right)$$

Источники диффузанта

• Бор (В)

```
B_2H_6 (диборан); смесь (порядка 5%) с Ar БСС (nB_2O_3\cdot mSiO_2), B_2O_3 2 B_2O_3+3Si\to 3SiO_2+4B ТПИ — BN (\mu mpud fopa) BCl_3 и \mu mpud fopa
```

• Фосфор (Р), мышьяк (As) и сурьма (Sb)

```
PCI_{3}, оксихлорид фосфора POCI_{3} PH_{3} (фосфин); 2 PH_{3} \rightarrow 3H_{2} + 2P P_{2}O_{5}, \Phi CC (nP_{2}O_{5} \cdot mSiO_{2}) 2 P_{2}O_{5} + 5Si \rightarrow 5SiO_{2} + 4P
```

Поверхностные источники: ортофосфаты кремния, $(NH_4)H_2PO_3$, ФСС

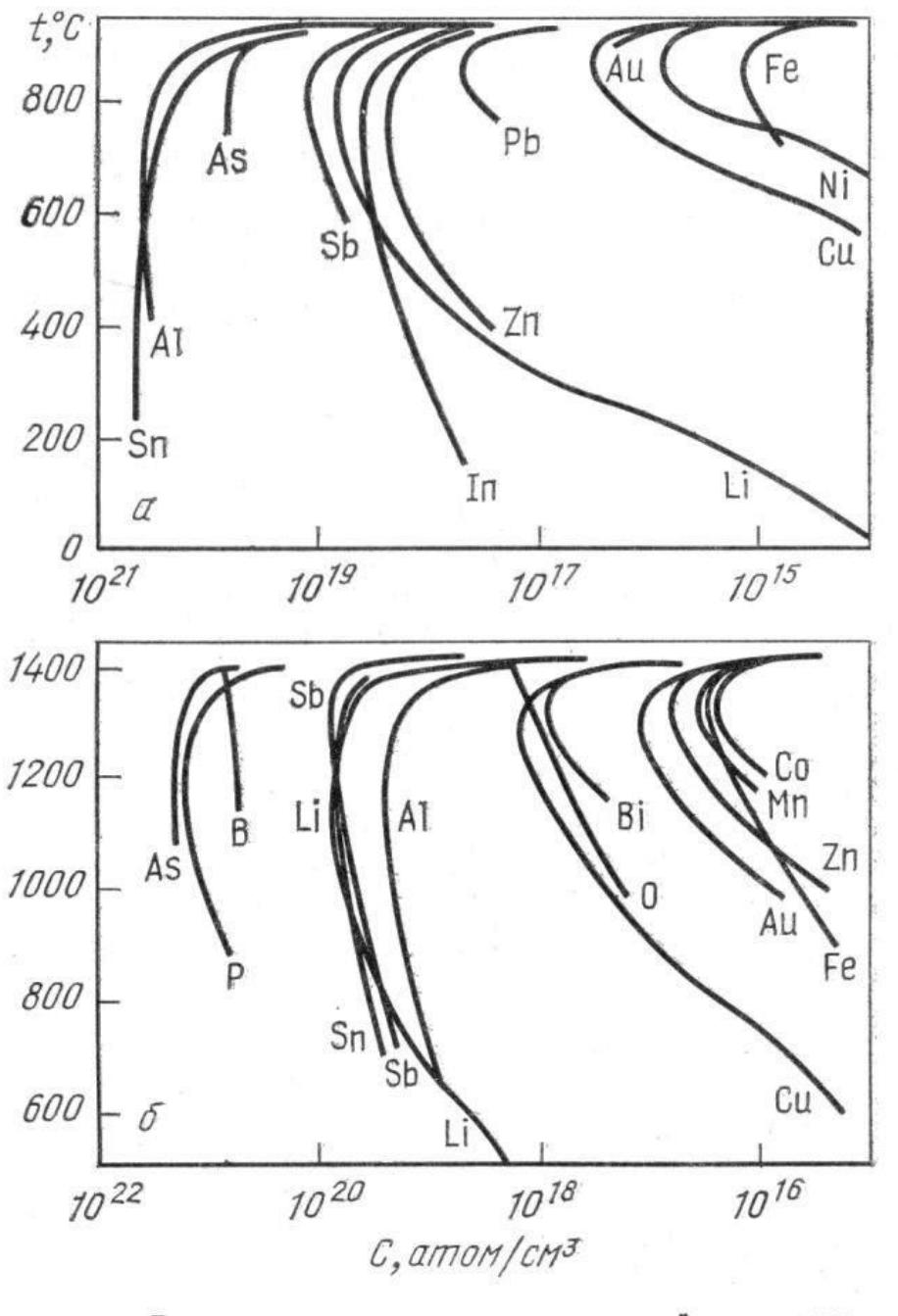
<u>ТПИ</u>: нитрид фосфора, фосфид кремния, ФСС, метафосфат алюминия, пирофосфат кремния

Выбор легирующей примеси

• Система энергетических уровней, создаваемых данной группой примесей в запрещенной зоне полупроводника.

Все основные донорные и акцепторные примеси в кремнии (элементы V и III групп) имеют Еа≈ 0.06 эВ. Исключением является In: Ea≈0.16 эВ от Ev (используется при создании фотоприемных устройств). Примеси, имеющие энергетические уровни, расположенные вблизи середины 33, например, Au, применяются для снижения времени жизни НН3.

- Предельная растворимость примеси. P $(1,5\cdot10^{21} \text{ см}^{-3})$, As $(2\cdot10^{21} \text{ см}^{-3})$, Sb $(5\cdot10^{19} \text{ см}^{-3})$. B $(5\cdot10^{20} \text{ см}^{-3})$, Al $(2\cdot10^{19} \text{ см}^{-3})$.
- Величина коэффициента диффузии. Наибольший коэффициент диффузии D имеет Al. Заметно уступают ему B и P. Очень велики D у Au и O₂.
- **Технологичность**. В первую очередь D в Si и SiO $_2$.

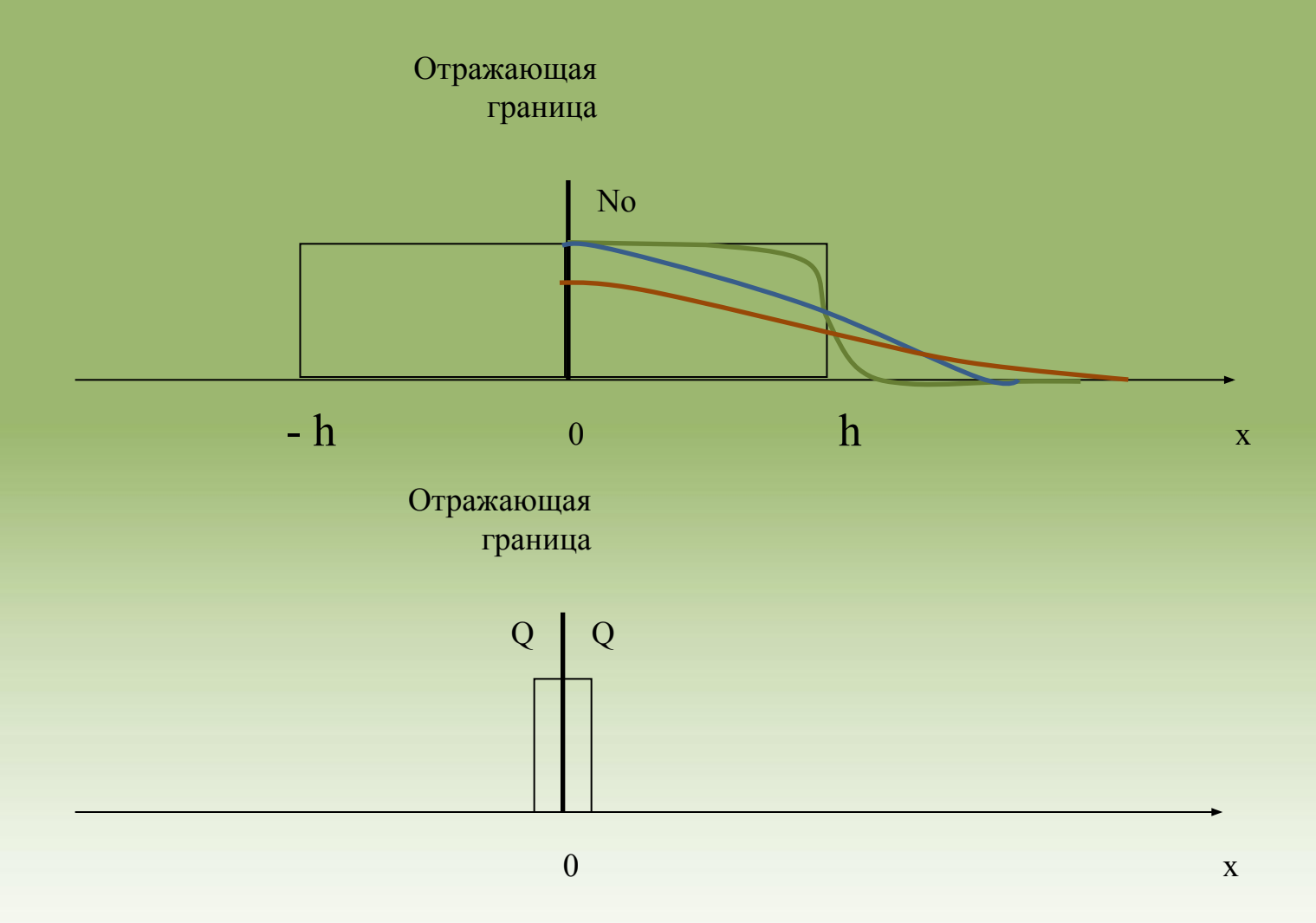


Ge

Si

Ретроградная растворимость примесей в германии (a) и кремнии (b)

Отражающая граница



Связывающая (поглощающая) граница

